

საქართველოს ტექნიკური უნივერსიტეტი
ს ი დ ს ა ც დ ე ლ ი ც ე ნ ტ რ ი

თბილისში სასტუმრო “რეზისონ ბლუ ივერია”-სთან
მიღისევება ავტოსატრანსპორტო გასასვლელის
გამოყვლევა





საქართველოს ტექნიკური უნივერსიტეტი

ხ ი დ ს ა ც დ ე ლ ი ც ე ნ ტ რ ი



სტუ ადმინისტრაციის
ხელმძღვანელი, პროფ.

ქ. ქოქრაშვილი

"_____ " 2014 წ.

თბილისში სასტუმრო “რედისონ ბლუ ივერია”-სთან
მიღისევება ავტოსატრანსპორტო გასასვლელის
გამოყვლევა

სასწავლო-სამეცნიერო
ცენტრის ხელმძღვანელი

თ. ცვარიანი

შემსრულებლები

1. თ. ცვარიანი

თ. ცვარიანი

ცენტრის ხელმძღვანელი, აკად. დოქტორი,
სამუშაოთა საერთო ხელმძღვანელობა, საველე
სამუშაოები, ანგარიშის ავტორი

2. გ. დათუპიშვილი

გ. დათუპიშვილი

წამყ. მეც. მუშაკი, ტ.მ.კ., საველე სამუშაოები,
მონაცემთა დამუშავება, ანგარიშის ავტორი

3. ბ. მაისურაძე

ბ. მაისურაძე

წამყ. მეც. მუშაკი, ას. პროფ., საველე სამუშაოები,
მონაცემთა დამუშავება, ანგარიშის ავტორი

4. ქ. კობახიძე

ქ. კობახიძე

ქ. კობახიძე, ტ.მ.კ., საველე სამუშაოები,
მონაცემთა დამუშავება, გრაფიკული მასალა

5. გ. მისაბიშვილი

გ. მისაბიშვილი

ინჟინერი, საველე სამუშაოები, მონაცემთა
დამუშავება, გრაფიკული მასალა

6. ბ. ბერიანიძე

ბ. ბერიანიძე

ინჟინერი, საველე სამუშაოები, მონაცემთა
დამუშავება, გრაფიკული მასალა

7. გ. ზექალაშვილი

გ. ზექალაშვილი

ინჟინერი, საველე სამუშაოები, მონაცემთა
დამუშავება, გრაფიკული მასალა

8. დ. შიოლაშვილი

დ. შიოლაშვილი

ინჟინერი, საველე სამუშაოები, მონაცემთა
დამუშავება

9. ვ. ბალავაძე

ვ. ბალავაძე

წამყ. მეც. მუშაკი, ას. პროფ., საველე სამუშაოები,
მონაცემთა დამუშავება

10. ზ. მეგრელიშვილი

ზ. მეგრელიშვილი

ზ. მეგრელიშვილი, აკად. დოქტორი, საველე
სამუშაოები, მონაცემთა დამუშავება

11. მ. გალუსტაშვილი

მ. გალუსტაშვილი

ინჟინერი, საველე სამუშაოები, მონაცემთა
დამუშავება, გრაფიკული მასალა

12. დ. წელუპიძე

დ. წელუპიძე

ინჟინერი, საველე სამუშაოები, მონაცემთა
დამუშავება

13. ი. სლოვინსკი

ი. სლოვინსკი

უფ. მეც. მუშაკი, ტ.მ.კ., მონაცემთა დამუშავება

14. გ. ბერიაშვილი

გ. ბერიაშვილი

უფ. ინჟინერი, გეოდეზისტი, საველე სამუშაოები,
მონაცემთა დამუშავება

15. თ. ჩადუნელი

თ. ჩადუნელი

ინჟინერი, მონაცემთა დამუშავება

16. თ. პატარკაციშვილი

თ. პატარკაციშვილი

ინჟინერი, მაგისტრანტი, გრაფიკული მასალა,
ანგარიშის გაფორმება

17. თ. ჯაფარიძე

თ. ჯაფარიძე

ინჟინერი, მაგისტრანტი, გრაფიკული მასალა,
ანგარიშის გაფორმება

18. ზ. ტატიშვილი

ზ. ტატიშვილი

ინჟინერი, მაგისტრანტი, გრაფიკული მასალა,
ანგარიშის გაფორმება

19. ლ. კალანდაძე

ლ. კალანდაძე

ინჟინერი, მაგისტრანტი, გრაფიკული მასალა,
ანგარიშის გაფორმება

სარჩევი

შესაგალი.....	4
1. ხილის მოკლე აღწერა.....	5
2. სატრანსპორტო გასასვლელის გამოკვლევა.....	7
3. გალის ნაშენის დაძაბულ-დეფორმირებული მდგრადარმობის ანალიზი ..	8
3.1. საანგარიშო კომპლექსის ЛИРА აღწერა	8
3.2. მალის ნაშენის გაანგარიშების შედეგები	9
4. რეკომენდაციები და დასკვნა	14
ლიტერატურა	15
დ ა ნ ა რ თ ე ბ ი	16

გესავალი

წინამდებარე ანგარიში შესრულებულია საქართველოს ტექნიკურ უნივერსიტეტსა და თბილისის მერიას შორის 2014 წლის 20 ნოემბერს დადგებული ხელშეკრულებით გათვალისწინებული სამუშაოების ნაწილის რეალიზაციის ფარგლებში და მოიცავს ქ. თბილისში სასტუმრო “რედისონ ბლუ ივერია”-სთან მდებარე მოედანზე სატრანსპორტო გასასვლელის გამოკვლევას.

ხიდის გამოკვლევას საფუძვლად დაედო “დამკვეთის”, ქ. თბილისის მერიის მიერ გაცემული მომსახურების სამუშაოების ნუსხა.

1. ხილის მოპლე აღჭრა

სატრანსპორტო გასასვლელი ელბაქიძის დაღმართის დასაწყისში სასტუმრო „რედისონ ბლუ ივერია“-სთან მდებარე სატრანსპორტო გასასვლელი აკავშირებს სასტუმრო „რედისონ ბლუ ივერია“-ს მიმდებარე ვარდების მოედანს მერაბ კოსტავას და ახვლედიანის ქუჩებთან. სატრანსპორტო გასასვლელის ორივე მხარეს აღნიშნული ნაგებობა გრძელდება იგივე სახიდე ელემენტების გამოყენებით შექმნილი მალის ნაშენებით, რომელთა ქვეშ მოწყობილია სამაქალაქო დანიშნულების ობიექტები, ხოლო სავალი ნაწილი ემსახურება როგორც საავტომობილო ტრანსპორტის გატარებას, ასევე მოედნის გაფართოებას.

აღნიშნული სატრანსპორტო გასასვლელი დაპროექტებულია საპროექტო ინსტიტუტის „ქალაქპროექტის“ მიერ. მშენებლობა შესრულდა №39 ხიდმშენი რაზმის მიერ (უფროსი ბ. ჭილგარია). ხიდი ექსპლოატაციაში შევიდა 1985 წლიდან. სატრანსპორტო გასასვლელი, როგორც საქალაქო ქუჩის შემადგენელი ნაწილი, იმყოფება ქ. თბილისის კეთილმოწყობის სამსახურის ბალანსზე.

სატრანსპორტო გასასვლელი წარმოადგენს რკინაბეტონის ჭრილკოჭოვანი მალის ნაშენის მქონე კონსტრუქციას სქემით – 2×15.0 მ. და საერთო სიგრძით $30,10$ მ. სატრანსპორტო გასასვლელის კონსტრუქციები დაპროექტებულია CH200-ის ნორმებით H30 და HK80 დროებით დატვირთვებზე.

სატრანსპორტო გასასვლელის მარჯვენა მალში (ელბაქიძის დაღმართის მხრიდან) მალის ნაშენი შედგენილია 39 ცალი რკინაბეტონის $l=15.00$ მ სიგრძის T-ებრი კვეთის მქონე კოჭით და სამი ცალი დრუტანიანი $l=15.00$ მ სიგრძის რკინაბეტონის ფილით. მარჯვენა მალის მალის ნაშენი შედგენილია 38 ცალი ასევე $l=15.00$ მ სიგრძის T-ებრი კვეთის მქონე კოჭისაგან. კოჭების კედლების სისქე მუდმივია და ტოლია 16.0 სმ, სიმაღლეში კოჭებს აქვთ 90 სმ, ხოლო სიგანე თაროს დონეზე 90 სმ. კოჭები ერთმანეთთან განივად დაკავშირებულია 35 სმ სიგანის მონოლითური რკინაბეტონის ნაკერით და შესაბამისად მათ შორის დაცილება შეადგენს 134 სმ. კოჭები დამზადებულია B25 კლასის ბეტონისაგან.

რკინაბეტონის დრუტანიანი ფილოვანი კოჭები დამზადებულია B40 კლასის ბეტონისაგან $3.503.12$ ტიპიური პროექტის მიხედვით. მისი სიგანეა 99 სმ, ხოლო სიმაღლე შეადგენს 75.0 სმ.

ხიდის სავალ ნაწილზე სადეფორმაციო ნაკერი არ არსებობს და ასევე წყლის უპეტ მოცილების მიზნით მოწყობილია უწყვეტი სავალი ნაწილი. როგორც T-ებრი კოჭების ასევე ფილების დასაყრდნობად გამოყენებულია ფურცლოვანი ფოლადის საყრდენი ნაწილები.

სავალი ნაწილის სამოსი შესრულებულია ასფალტობეტონით, რომელის ქვეშაც მოწყობილია ბეტონის დამცავი ფენა, პიდროიზოლაციის შრე და მჭლე ბეტონის გამათანაბრებელი ფენა.

300 სმ სიგანის ტროტუარი, ჯავახიშვილის ქუჩის მხრიდან სატრანსპორტო გასასვლელის მთელ სიგრძეზე, ხოლო საწინააღმდეგო მხრიდან სხვადასხვა სიგანის (150 სმ-დან 350 სმ-მდე) ტროტუარი არის მხოლოდ მარცხენა მალში. მოაჯირები წარმოადგენს ქვის გამჭოლ კონსტრუქციას ქვისავე მოაჯირით.

მარჯვენა სანაპირო ბურჯის (ჯავახიშვილის ქუჩის მხრიდან) სამირკვლის ტანი წარმოადგენს სათავსის კედელს და შესრულებულია ბეტონის ბლოკების

გამოყენებით. წამწისქვედა კოჭი მონოლითური რკინაბეტონისაა, კედელი სავალი ნაწილის მხრიდან მოპირკეთებულია ბაზალტის ფილებით. ჯავახიშვილის ქუჩის მხარეზე კედელს აქვს ღიობი ღიდი ზომის ფანჯრის მოსაწყობად, რომლის დანიშნულებაა სათავსის განათება.

ხიდის მარცხენა სანაპირო ბურჯი ანალოგიურია მარჯვენა მხარის. ბურჯის ტანში დამატებით არის მოწყობილი ფანჯრის ღიობები ბურჯის უკან განთავსებული სათავსის გასანათებლად. კედელი ზემოდან დაგრძელებულია სიმაღლეში ფოლადის ორტესებრი შედგენილი კოჭით, რომელზეც დამონტაჟებულია ასევე ორტესებრი კოჭის მოკლე ნაჭრები, რომელთა ზედა ბრტყელ თაროზე ხდება მალის ნაშენის კოჭების დაყრდნობა. გრძივი კოჭი შელესილია ცემენტ-ქვიშის დუღაბით. გარდა ამისა, წყვიწილად 24 კოჭს შორის მოწყობილია კედლის შევსება აგურის წყობით.

შუალედური ბურჯის საძირკველი შესრულებულია მონოლითური რკინაბეტონისაგან. ბურჯის ტანად გამოყენებულია 10 ცალი კვეთში 8 წახნაგიანი (110 სმ დიამეტრის) მონოლითური რკინაბეტონის დგარი, რომლებიც ზემოდან გაერთიანებულია 57,70 მ სიგრძისა და 130×90 სმ განიკვეთის მქონე რკინაბეტონის რიგელით. რიგელზე კოჭების დაყრდნობა ხდება ტოლის ფენით.

ხიდის ქვეშ გამავალი გზის ორივე მხარეზე მოწყობილია 330 სმ (რუსთაველის გამზირის მხარე) და 267 სმ (ფილარმონიის მხარე) სიგანის ტროტუარები.

2. სატრანსპორტო გასასვლელის გამოკვლევა

სატრანსპორტო გასასვლელის გამოკვლევა შეასრულა საქართველოს ტექნიკური უნივერსიტეტის ხიდსაცდელი ცენტრის თანამშრომელთა ჯგუფმა 2014 წლის დეკემბერში. გამოკვლევის წინა ეტაპზე მოხდა სატრანსპორტო გასასვლელის ტექნიკური და საექსპლოატაციო დოკუმენტაციის მოძიება, მაგრამ არც ცენტრალურ რესპუბლიკურ და არც ქ. თბილისის არქივებში ხსენებული დოკუმენტაცია არ აღმოჩნდა.

სატრანსპორტო გასასვლელის გამოკვლევის პროცესში შესრულდა ნაგებობის გეოდეზიური აგეგმვა და დადგინდა ხიდის აბსოლუტური კოორდინატები. გეოდეზიური აგეგმვის პროცესში აიგეგმა ხიდის გრძივი დერძი და განივი კვეთები. ხიდზე შესრულდა კონსტრუქციების ინსტრუმენტული გამოკვლევა.

ტოპოგეოდეზიური აგეგმვისა და სატრანსპორტო გასასვლელის ელემენტების აზომვების შედეგები მოცემულია ნახაზზე (დანართი II). აზომვების შედეგების მიხედვით რაიმე მნიშვნელოვანი დარღვევა არ გამოვლენილა.

სატრანსპორტო გასასვლელის გამოკვლევის პროცესში შესრულებული ვიზუალური და ინსტრუმენტული კვლევის შედეგები მიხედვით გამოვლინდა მთელი რიგი დეფექტები და დაზიანებები, კერძოდ:

- 1) ნაგებობის სავალი ნაწილი მთლიანობაში დამაკმაყოფილებელ მდგომარეობაშია, მხოლოდ სადეფორმაციო ნაკერის თავზე სანაპირო ბურჯებზე აღინიშნება სავალი ნაწილის ასფალტობეტონის სამოსში ბზარები;
- 2) მოაჯირები საერთოდ დამაკმაყოფილებელ მდგომარეობაშია, მხოლოდ ელბაქიძის დადმართის მხარეზე მოაჯირის ქვის სამი ბლოკი დაკარგულია. დაკარგულია ასევე კიბის მოაჯირის ორი ბლოკი, ხოლო სავალი ნაწილის საწინააღმდეგო მხარეს ორი ბლოკია დაკარგული;
- 3) ტროტუარის ნაპირიდან თითქმის მუდმივად ჟონავს წყალი პრაქტიკულად მთელ სიგრძეზე, განსაკუთრებით ტროტუარის ბოლოში (ახვლედიანის ქუჩის მხარეს);
- 4) მალის ნაშენის განაპირა კოჭში (ელბაქიძის დადმართის მხარეს) კოჭის ძირი დაზიანებულია, დამცავი შრე ბევრ ადგილას აცვენილია და გაშიშვლებული არმატურა კოროდირებს;
- 5) რამდენიმე ადგილზე კოჭების გამონოლითების ნაკერში აღინიშნება წყლის ჟონვა, რის შედეგად ნაკერის გამონოლითების ბეტონი გამოტუტულია და კოროდირებს;
- 6) მარცხენა მალში ფილების გაგრძელებაზე მდებარე კოჭების ძირზე აღინიშნება მცირე ზომის ბეტონის ანახლებები, რომელიც მექანიკური ზემოქმედების შედეგია;
- 7) გვერდითა კედლებს ზოგ ადგილზე აკლია შემოსვის ელემენტი;
- 8) დაყრდნობის ადგილას კოჭების ძირი რიგ ადგილებში საჭიროებს გაწმენდას.

3. მალის ნაშენის დამაბულ-დეფორმირებული მდგომარეობის ანალიზი

3.1. საანგარიშო კომპლექსის **ЛИРА** აღწერა

საანგარიშო კომპლექსი **ЛИРА** წარმოადგენს სასრულ ელემენტთა მეთოდზე დაფუძნებულ საანგარიშო პროგრამების ერთობლიობას, რომლის საშუალებით გაიანგარიშება მყარი ტანის მექანიკის ამოცანები. სწორედ ასეთი ამოცანების კლასს განეკუთვნება ხიდების კონსტრუქციების გაანგარიშების ამოცანები.

გარდა ობიექტის მოდელის ზოგადი გაანგარიშებისა სტატიკური დატვირთვის ყველა შესაძლო სახეობაზე, ტემპერატურულ, დეფორმაციულ და დინამიკურ ზემოქმედებებზე, პკ **ЛИРА** ავტომატურ რეჟიმში განსაზღვრავს საანგარიშო დატვირთვებისა და ძალვების თანწყობებს, ასრულებს რკინაბეტონისა და ფოლადის ელემენტების კვეთების შერჩევასა და შემოწმებას, ადგენს კონსტრუქციულ ნახაზებს. პკ **ЛИРА** შესძლებლობას იძლევა გამოკვლეულ იქნას საანგარიშო მოდელის საერთო მდგრადობა, შემოწმდეს ელემენტების კვეთების სიმტკიცე რდვევის სხვადასხვა თეორიების მიხედვით.

გაანგარიშებების შედეგების ვიზუალიზაცია საშუალებას იძლევა შემდგომი ანალიზისთვის აისახოს ობიექტის დაძაბულ-დეფორმირებული მდგომარეობა გადაადგილებებისა და ძაბვების იზოველების, ძალვებისა და ჩაღუნვების ეპიურების, ელემენტის რდვევის მოზაიკის, მთავარი და ექვივალენტური ძაბვების სახით და ა.შ.

პროგრამის საანგარიშო მოდულში დაცულია სასრულ ელემენტთა დიდი მოცულობის ბიბლიოთეკა, რომელიც სასუალებას იძლევა შეიქმნას საკვლევი ობიექტის აღექვატური საანგარიშო მოდელები პრაქტიკულად შეზღუდვების გარეშე. ამასთან დასაშვებია კონსტრუქციული მასალებისა და ელემენტების დეფორმაციულობის კანონის წრფივი და არაწრფივი ხასიათის გათვალისწინება, რაც, მაგალითად, შესაძლებელს ხდის რკინაბეტონის სხვადასხვა სახეობების გაანგარიშებას.

პკ **ЛИРА**-ს თეორიულ საფუძველს წარმოადგენს სასრულ ელემენტთა მეთოდი, რომელიც რეალიზებულია გადაადგილებების ფორმით, კერძოდ, პკ იუენებს შესაძლო გადაადგილებათა პრინციპს. საანგარიშო მოდელის შიგნით გადაადგილებები წარმოადგენს მოდელის შემადგენელი სასრული ელემენტების დეფორმაციების შედეგს. ეს სასრული ელემენტები შეირჩევა ბიბლიოთეკიდან, რომელიც შეიცავს სხვადასხვა ტიპის კონსტრუქციებისთვის დამახასიათებელ ელემენტებს: დეროებს, ბრტყელი ამოცანის სამკუთხა და ოთხკუთხა ელემენტებს, ფილებს, გარსებს, სივრცული ამოცანის ელემენტებს – ტეტრაედრს, პარალელეპიდებს, სამჭანაგა პრიზმებს. გარდა ამისა ბიბლიოთეკა შეიცავს სასრული სიხისტის კავშირებს, კვანძებს შორის დრეკად დამყოლობას, ელემენტებს, რომელთა მახასიათებლები აღიწერება სიხისტის რიცხვითი მატრიცით.

ხიდის კოჭოვანი მალის ნაშენის გაანგარიშებისთვის გამოიყენება წრფივი ამოცანის გადაწყვეტა, რომელშიც არსებობს დატვირთვებსა და გადაადგილებებს შორის პირდაპირ პროპორციული დამოკიდებულება, გადაადგილებათა მცირე

სიდიდის გამო, და ასახული პუკის კანონით. ამის გამო ძალაშია სუპერპოზიციის პრინციპი და ძალთა მოქმედების დამოუკიდებლობის კანონი.

წინასწარ დაძაბული ელემნტების მოდელირებისთვის გამოიყენება სპეციალური სასრული ელემენტი, რომელიც პირველი დატვირთვისას უზრუნველყოფს საანგარიშო სქემაში საჭირო ძალვის წარმოქმნას, შემდეგ კი მუშაობს როგორც ჩვეულებრივი სასრული ელემენტი. ამით უზრუნველყოფილია წინასწარ დაძაბული რკინაბეტონის კოჭების მოდელირება მალის ნაშენში.

საანგარიშო სქემა წარმოადგენს კონსტრუქციის იდეალიზებულ მოდელს, რომელიც დაყოფილია სასრულ ელემენტებად, რის შედეგად ჩნდება კვანძები. საანგარიშო სქემა ორიენტირებულია დეკარტის მარჯვენა კოორდინატთა სისტემაში. სასრული ელემენტის ფიქსაციისთვის გამოიყენება კოორდინატთა ადგილობრივი სისტემა (ასევე მხოლოდ მარჯვენა დეკარტის სისტემაზე ორიენტირებული).

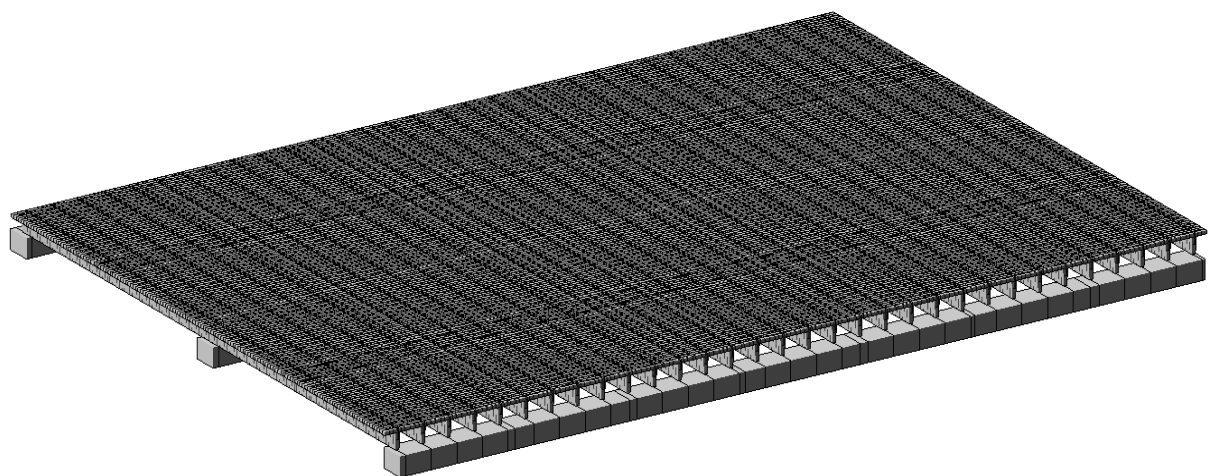
მოდელში დატვირთვის სტატიკური ზემოქმედება მოცემულია შეეურსული ძალების ან მომენტების სახით, რომლებიც მოქმედებენ კვანძებში ან უშუალოდ ელემენტში მისი ღერძების გასწვრივ.

ამოცანის გადაწყვეტის სიზუსტე დამოკიდებულია სასრული ელემენტის ზომებზე და შეირჩევა გადასაწყვეტი ამოცანის ხასიათიდან გამომდინარე. სასრული ელემენტების ერთობლიობა ქმნის სივრცულ ან ბრტყელ ბადეს, რომლის სიხშირე შეიძლება სხვადასხვა იყოს მოდელის სხვადასხვა ზონაში. რაც უფრო ხშირია ბადე, მით უფრო ზუსტია გაანგარიშების შედეგები, მაგრამ გართულებულია გაანგარიშების პროცესი. ამიტომ უფრო ხშირად ბადის სიხშირეს ზრდიან კონსტრუქციის საკვანძო უბნებში, სადაც ადგილი აქვს ძაბვების, ძალვებისა და გადაადგილებების კონცენტრაციას ან მათ მკვეთრ ცვლილებს.

გაანგარიშების შედეგად მიიღება ძაბვების, ძალვებისა და გადაადგილებების ველები, რომლებიც ასახავენ საანგარიშო კონსტრუქციის დაძაბულ-დეფორმირებულ მდგომარეობას. ამ მონაცემების შედარება ნორმატულ სიდიდეებთან საშუალებას იძლება შეფასდეს კონსტრუქციის მუშაობის ხასიათი, მისი რესურსი და გაკეთდეს დასკვნა კონსტრუქციის (ნაგებობის) ვარგისიანობის შესახებ.

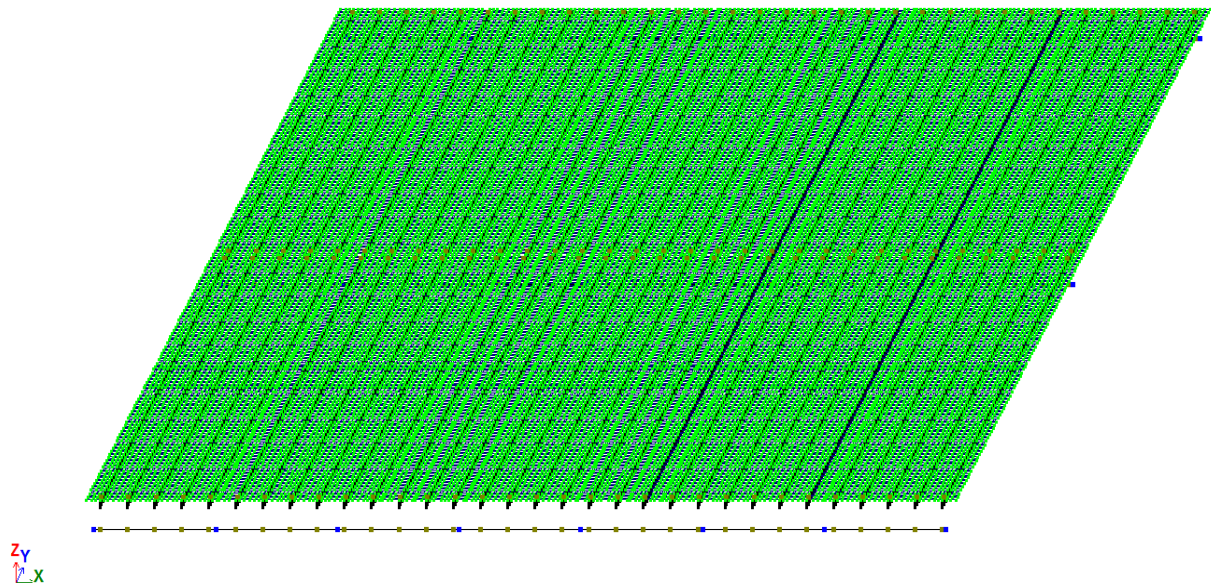
3.2. მალის ნაშენის გაანგარიშების შედეგები

ხიდის მალის ნაშენი გაანგარიშებულ იქნა ნორმებით გათვალისწინებულ დატვირთვაზე მზიდუნარიანობის მიხედვით. გაანგარიშების შედეგები მოყვანილია პკ ლИРА-ს ვიზუალიზაციის საშუალებების გამოყენებით, სადაც ნაჩვენებია მალის ნაშენების ჩაღუნვების სიდიდეები A-11 და НК-80 დატვირთვებისაგან დროებითი დატვირთვის ნორმებით გათვალისწინებული დაყენებისას. მზიდუნარიანობა შეფასდა ზღვრული და მოქმედი მაქსიმალური მომენტების შედარების გზით.



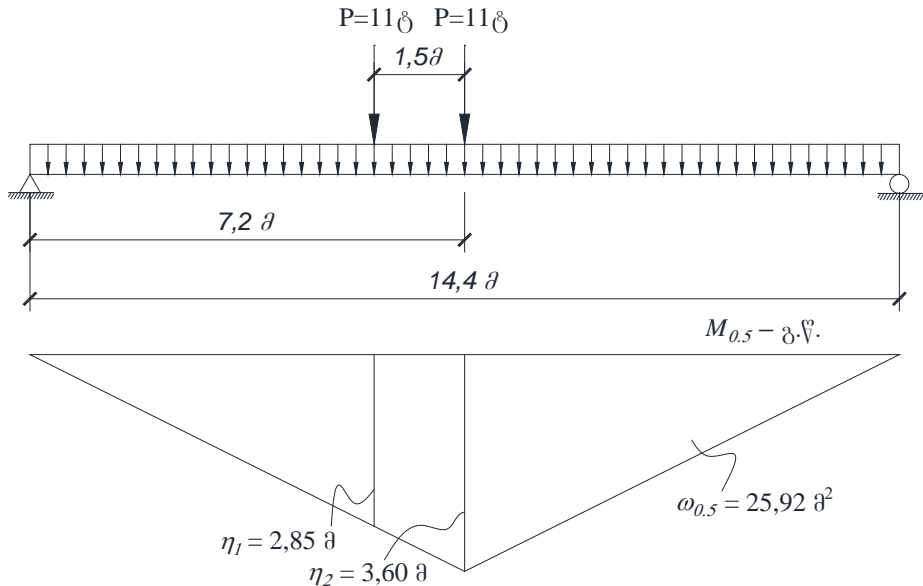
სურ. 1. ხიდის ძალის ნაშენების საანგარიშო 3D მოდელი.

Загружено 2



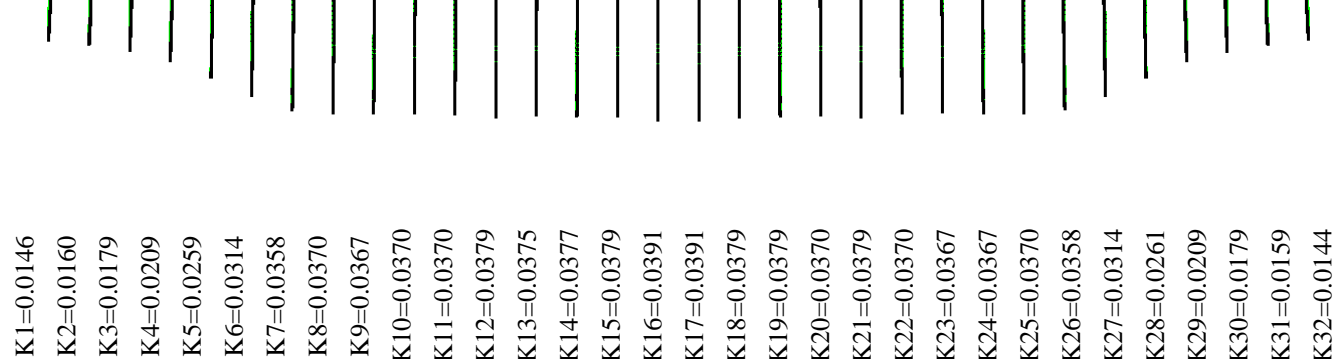
სურ. 2. ხიდის ძალის ნაშენების საანგარიშო მოდელი

დატვირთვის I სქემა 2xA11 დატვირთვისას



**ნახ. 1. მღუნავი მომენტის გავლენის წირი მაღის შუა ძველისათვის
დატვირთვის I სქემისას**

პროგრამა LIIRA-ს გამოყენებით გამოთვლილ იქნა განივი გადაცემის კოეფიციენტები, რომლებიც მოცემულია ნახ. 2-ზე.



ნახ. 2. განივი დაყენების კოეფიციენტი I სქემისათვის

2xA11 დატვირთვისაგან კოჭის მაღის შუაში აღმრული მღუნავი მომენტი გაიანგარიშება ფორმულით:

$$\begin{aligned}
 M_{0,5}^{A11} &= (1 + \mu) \times K \left[10P(\eta_1 + \eta_2) \times \gamma_{fp} + (\nu(2 + 8S)) \times \omega_{0,5} \times \gamma_{fv} \right] = \\
 &= 1,227 \times 0,0379 \left[10 \times 11,0 (2,85 + 3,6) \times 1,296 + (1,0 \times (2,0 + 8 \times 0,6)) \times 25,92 \times 1,2 \right] = \\
 &= 0,0465033 \times [919,5128 + 211,507] = 0,0465033 \times 1131,02 = 52,596 \text{ გ} \cdot \text{გ}
 \end{aligned}$$

სადაც: $P = 11 \text{ გ}$ – A11 დატვირთვის ურიკის ღერძე დაწოლის სიდიდეა;

$\eta_1 = 2,85$ – გავლენის წირის ორდინატა;

$\eta_2 = 3,60$ – გავლენის წირის ორდინატა;

$\gamma_{fp} = 1.296$ – საიმედოობის კოეფიციენტია დროებითი დატვირთვის მიხედვით
AK დატვირთვის ურიკისათვის;

$(1 + \mu)$ – დინამიკუროის კოეფიციენტია ([1]. პ.2.22. ფ.(23)გვ.23)

$$1 + \mu = 1 + \frac{45 - \lambda}{135} = 1 + \frac{45.0 - 14.4}{135} = 1.227$$

K – არის განივი გადანაწილების კოეფიციენტი A-11 დატვირთვისათვის (იხ.
გაანგარიშება);

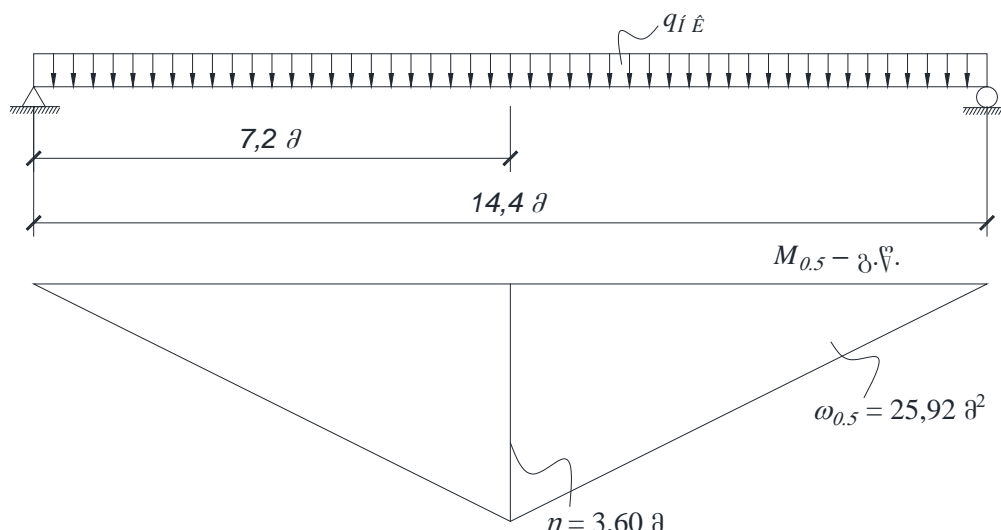
$v = 1.0$ ტ/მ – AK დატვირთვის ზოლოვანი ნაწილის ინტენსივობის სიდიდეა;

$\omega_{0.5} = 25.92 \text{ rad}^2$ – $M_{0.5}$ -ის გავლენის წირის ფართობია;

$\gamma_{fv} = 1.2$ – საიმედოობის კოეფიციენტია AK დატვირთვის ზოლოვანი
ნაწილისათვის ([2].პ.2.23.პ.14);

$s = 0.6$ – ზოლიანობის კოეფიციენტია.

დატვირთვის II სქემა HK-80 დატვირთვისას



ნახ. 3 მღუნავი მომენტის გავლენის წირი მაღის შუა კვეთისთვის
დატვირთვის II სქემისას

პროგრამა LIIRA-ს გამოყენებით იქნა გამოთვლილი განივი გადაცემის
კოეფიციენტები, რომლებიც მოცემულია ნახ. 4-ზე.



K1=0.0165	K2=0.0173	K3=0.0178	K4=0.0177	K5=0.0174	K6=0.0176	K7=0.0183	K8=0.0198	K9=0.0234	K10=0.0311	K11=0.0413	K12=0.0472	K13=0.0523	K14=0.0536	K15=0.0528	K16=0.0560	K17=0.0560	K18=0.0528	K19=0.0539	K20=0.0526	K21=0.0472	K22=0.0410	K23=0.0308	K24=0.0233	K25=0.0198	K26=0.0183	K27=0.0176	K28=0.0175	K29=0.0178	K30=0.0178	K31=0.0172	K32=0.0163
-----------	-----------	-----------	-----------	-----------	-----------	-----------	-----------	-----------	------------	------------	------------	------------	------------	------------	------------	------------	------------	------------	------------	------------	------------	------------	------------	------------	------------	------------	------------	------------	------------	------------	------------

ნახ. 4. განივი დაყენების კოეფიციენტი I სქემისათვის

HK-80 დატვირთვისაგან კოჭის მალის შუაში აღძრული მღუნავი მომენტი გაიანგარიშება ფორმულით:

$$M_{0.5}^{HK} = (1 + \mu) \times K \times 4q_{HK} \times \omega_{0.5} = 1.1 \times 0.056 \times 4 \times 9.164 \times 25.92 = 58.527 \text{ ტ}\cdot\text{მ}$$

სადაც: K – არის განივი გადანაწილების კოეფიციენტი HK-80 დატვირთვისათვის (იხ. გაანგარიშება);

$$q_{HK} = 9.164 \text{ ტ}\cdot\text{მ.} - \text{არის HK-80 დატვირთვის ექვივალენტური თანაბრად განაწილებული დატვირთვა, როცა } \lambda = 14.4 \text{ მ და } \alpha = 0.5. \\ ([1]\cdot\text{დამ.6ც}\cdot\text{b.1.გვ.146});$$

$\omega_{0.5}$ – არის $M_{0.5}$ გავლენის წირის ფართობი (იხ. ნახ 1);

$(1 + \mu)$ – დინამიკურის კოეფიციენტია;

მღუნავი მომენტების განსაზღვრის შედეგად დატვირთვის ორივე სქემის მიხედვით დგინდება, რომ უდიდესი მომენტი დროებითი დატვირთვისაგან მიიღება II სქემის მიხედვით ($M_{0.5}^{HK} = 58.527 \text{ ტ}\cdot\text{მ.}$), რაც სააბოლოოდ მიიღება ჯამური მომენტის განსაზღვრისათვის.

მალის ნაშენის ერთ კოჭში მუდმივი დატვირთვებისაგან გამოწვეული მღუნავი მომენტი იქნება:

$$M_{\text{მუდ}} = q_{\text{მუდ}} \times \omega_{0.5} = 1.77 \times 25.92 = 45.87 \text{ ტ}\cdot\text{მ.}$$

მუდმივი და მაქსიმალური დროებითი დატვირთვისაგან ერთ კოჭზე გადაცემული ჯამური მღუნავი მომენტი იქნება:

$$M_{\text{ჯამ}} = M_{\text{მუდ}} \times M_{0.5}^{HK} = 45.87 + 58.527 = 104.397 \text{ ტ}\cdot\text{მ.} \approx 104.4 \text{ ტ}\cdot\text{მ.}$$

კოჭის კვეთის სიმტკიცე მალის შუაში შეადგენს: $M_{\text{ულ}} = 139.97 \text{ ტ}\cdot\text{მ.}$

შესაბამისად,

$$M_{\text{ულ}} = 139.97 \text{ ტ}\cdot\text{მ.} > M_{\text{ჯამ}} = 104.4 \text{ ტ}\cdot\text{მ.}$$

მალის ნაშენის კოჭის სიმტკიცის პირობა მღუნავი მომენტის მიხედვით დაგმაყოფილებულია.

4. რეკომენდაციები და დასკვნა

ქ. ობილისში სასტუმრო “რედისონ ბლუ ივერიას” მიმდებარე მოედნის შემადგენლობაში შემავალი ორმალიანი სატრანსპორტო გასასვლელის გამოკვლევის მასალების ანალიზის შედეგად დადგინდა შემდეგი:

- 1) ნაგებობის სავალი ნაწილი მთლიანობაში დამაკმაყოფილებელ მდგომარეობაშია;
- 2) რეაბილიტაციას საჭიროებს სადეფორმაციო ნაკერები მათზე გადაგებული ასფალტობეტონის ფენით;
- 3) რეაბილიტაცია-აღდგენას საჭიროებს მოაჯირების დაზიანებული ნაწილები;
- 4) ზოგ ადგილას რეაბილიტაციას საჭიროებს კოჭების გამონოლითების ნაკერი ჰიდროზოლაციის შეცვლასთან ერთად;
- 5) რეაბილიტაციას საჭიროებს მალის ნაშენის კოჭებზე დამაგრებული დეკორატული კარნიზის ბლოკები;
- 6) საერთოდ ნაგებობა საჭიროებს გასუფთავებას ჭუჭყისა და ნაგვისაგან.

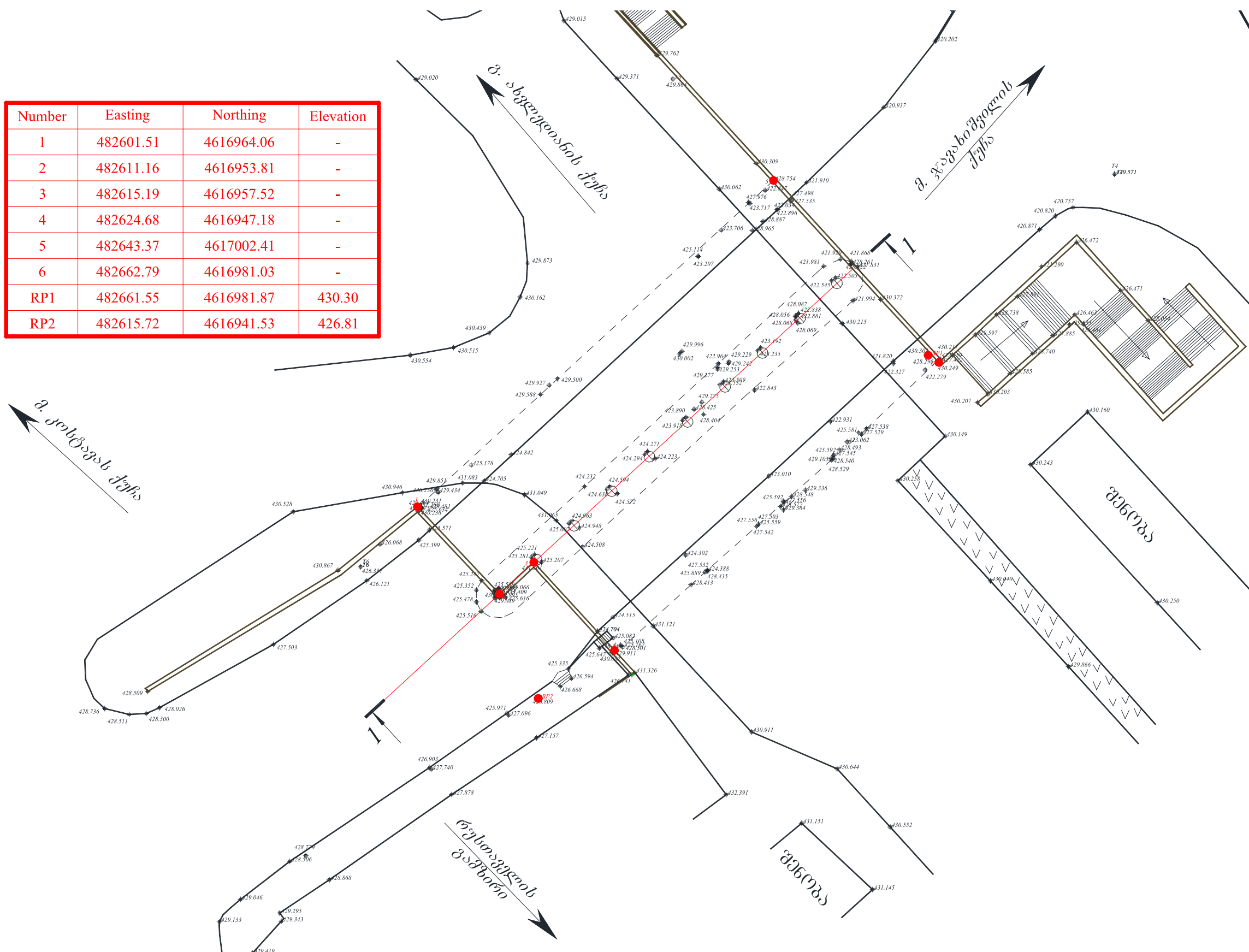
საბოლოოდ კეთდება დასკვნა, რომ სატრანსპორტო გასასვლელზე სარეაბილიტაციო სამუშაოების შესრულების შემდეგ შესაძლებელია მისი ექსპლოატაცია შეზღუდვების გარეშე მოქმედი ტექნიკური პირობების შესაბამისად.

სარეაბილიტაციო სამუშაოები უნდა შესრულდეს სატრანსპორტო გასასვლელის გამოკვლევის წარმოდგენილი ანგარიშის საფუძველზე შედგენილი პროექტით.

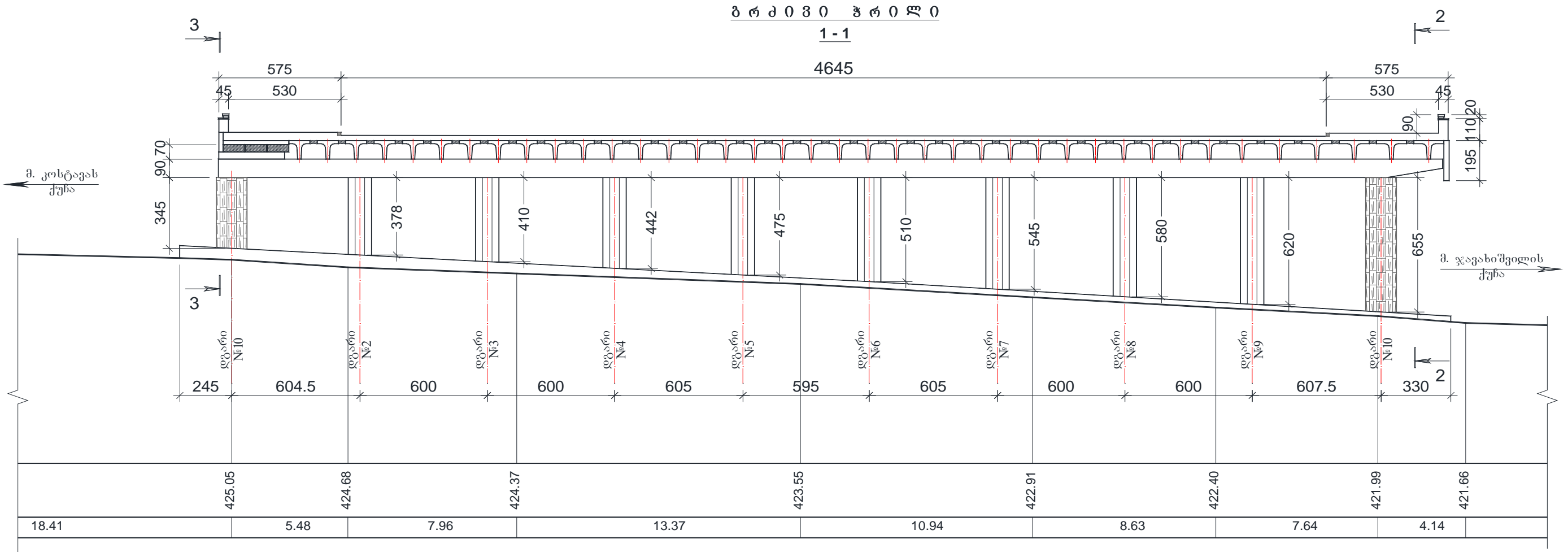
ლიტერატურა

1. СНиП 2.05.03-84. Мосты и трубы. Нормы проектирования.
2. СНиП Ш-43-75. Мосты и трубы. Правила производства и приемки работ.
3. СНиП 3.06.07-86. Мосты и трубы. Правила обследований и испытаний.
4. ГОСТ 8829-94. Изделия строительные железобетонные и бетонные заводского изготовления. Методы испытания нагружением. Правила оценки прочности, жесткости и трещиностойкости
5. ГОСТ 25192-82. Бетоны. Классификация и общие технические требования.

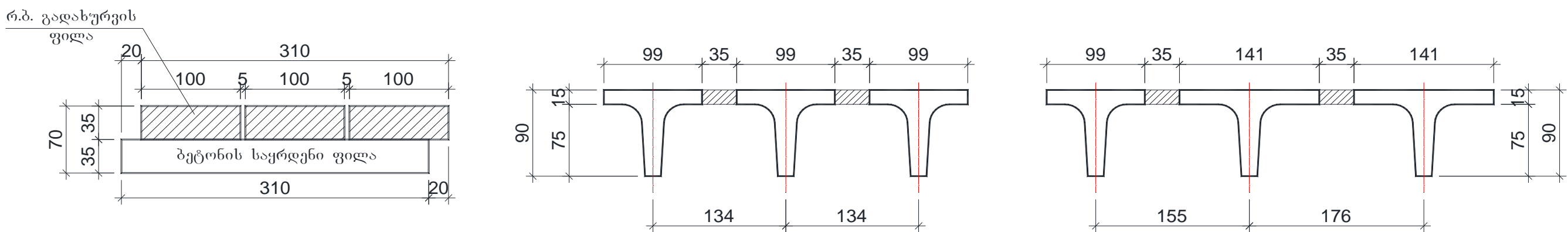
କାନ୍ତିରାମ



სატრანსპორტო გასასვლელის გეგმა



გ ა მ 0 ს 6 ა ჟ 0 6 0 ს ვ ფ ა ბ 0 6 ფ 0

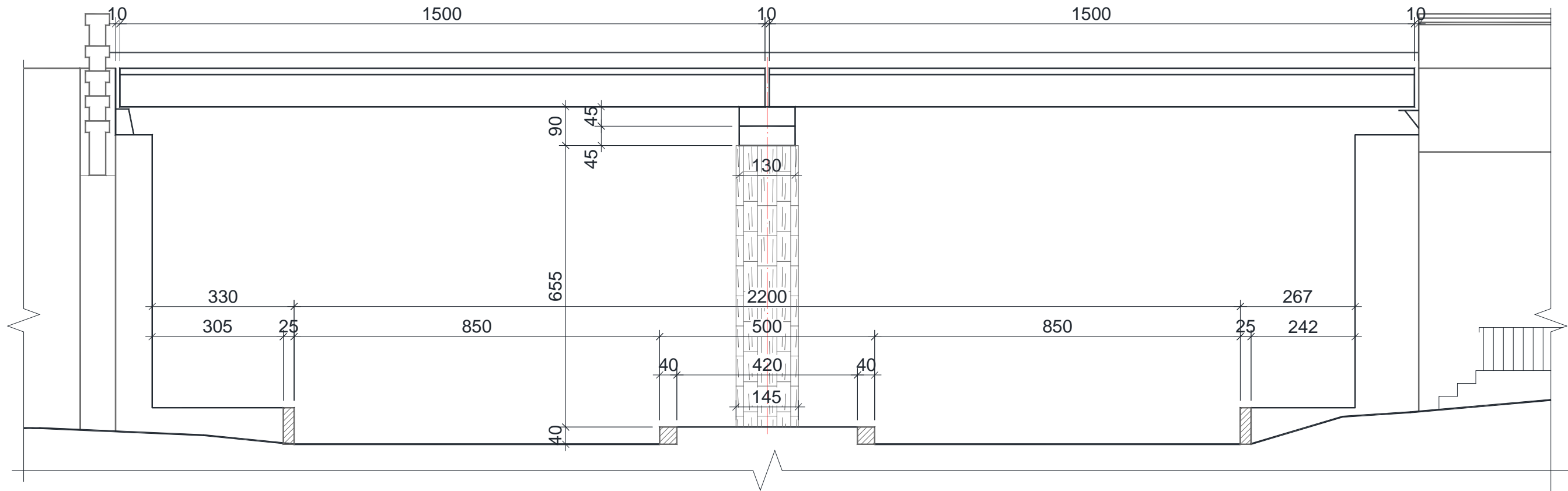


შენიშვნა:

- ნახაზზე ზომები მოცემულია სანტიმეტრებში, ხოლო ნიშნულები მეტრებში
- ნიშნულები აბსოლუტურია

ბ ა 6 0 3 0 ჰ რ 0 ლ 0

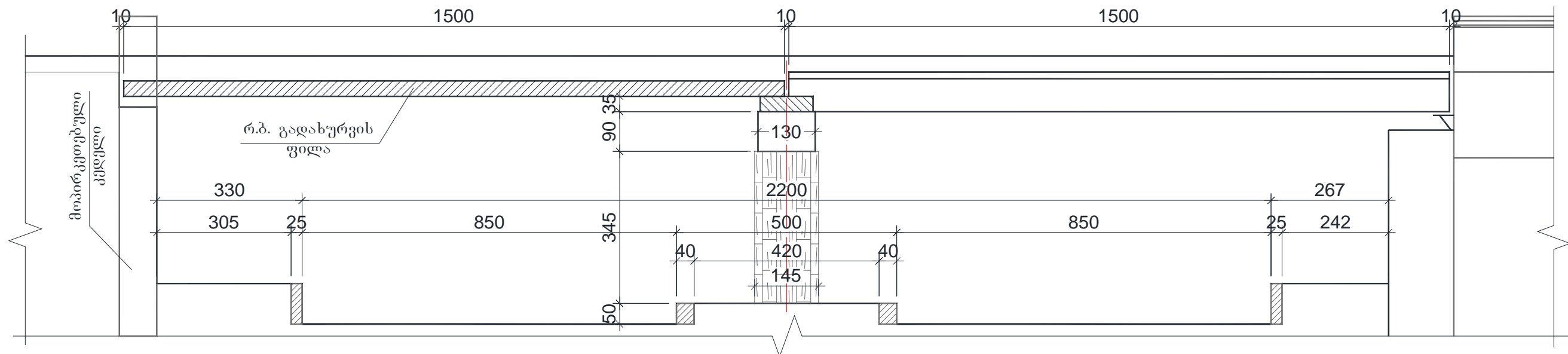
2 - 2



შენიშვნა:

ბ ა 6 0 3 0 ჰ რ 0 ლ 0

3 - 3





სურ. ღ-1. სატრანსპორტო გასასვლელის საერთო ხედი



სურ. ღ-2. ქვედა ძარნიზის დაზიანებული ძირი



სურ. დ-3. დაზიანებული კარნიზის ძირი და მოპირკვეთების ბაზალტის ქვები



სურ. დ-4. დაზიანება კარნიზის ძირში



სურ. დ-5. გამოტუტგა მალის ნაშენის კოჭების გამონოლითების ნაკერში



სურ. დ-6. გამოტუტგა კოჭების გამონოლითების ნაკერში



სურ. დ-7. გამოტუტული გამონოლითების ნაკერი



სურ. დ-8. მალის ნაშენის ელემენტების დაყრდნობა რიგელის კოჭზე



სურ. დ-9. დაზიანებული შუალედი ბურჯის რიგელი



სურ. დ-10. საყრდენებს შორის ძედლი



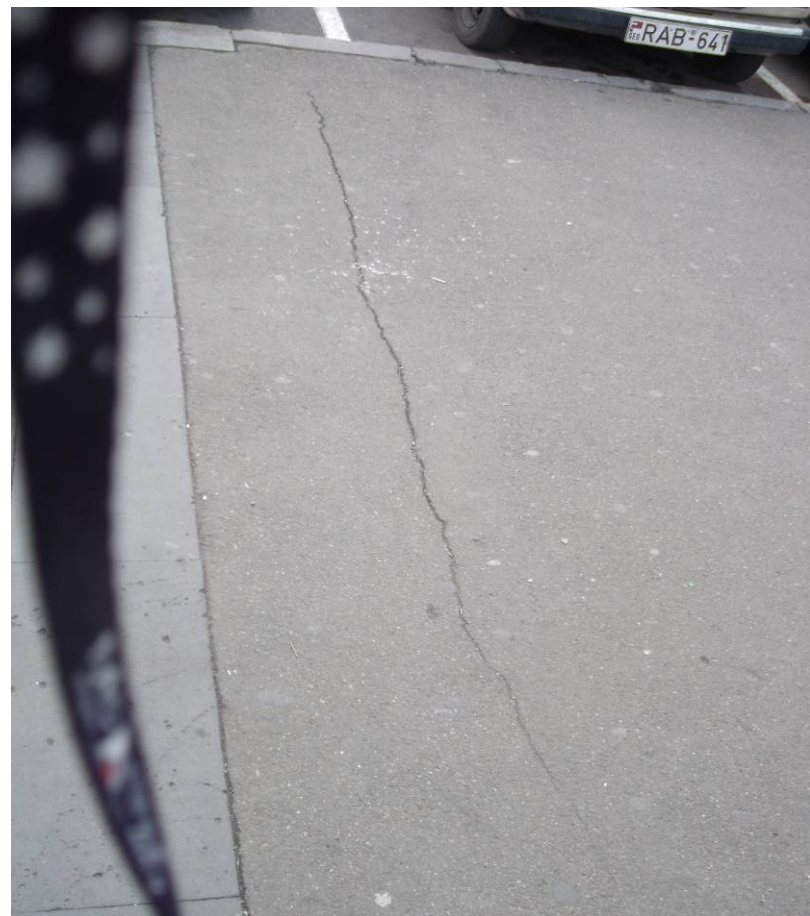
სურ. დ-11. დაზიანებული კოჭის ძირები



სურ. დ-12. დაზიანებული მოაჯირი



სურ. დ-13. დაძრული მოაჯირის ბლოკები



სურ. დ-14. პზარი საძეგვორმაციო ნაკერის თაგზე



სურ. დ-15. ბზარი საგალ ნაწილში საღეფორმაციო ნაკერზე



სურ. დ-16. ბზარი საგალის ნაწილის საღეფორმაციო ნაკერზე